

УДК 541.183

РЕШЕНИЕ НЕРАВНОВЕСНОЙ ЗАДАЧИ ДИНАМИКИ СОРБЦИИ  
С УЧЕТОМ ПРОДОЛЬНЫХ ЭФФЕКТОВ МЕТОДОМ  
АППРОКСИМИРУЮЩИХ ФУНКЦИЙ  
В СМЕШАННОДИФФУЗИОННОЙ КИНЕТИЧЕСКОЙ ОБЛАСТИ

А. С. КАМЕНЕВ

(Кафедра прикладной атомной физики и радиохимии)

В работах [1—3] получены приближенные аналитические решения уравнений неравновесной динамики сорбции для некоторых типов молекулярной адсорбции, когда статистика описывается изотермой ленгмюровского типа, а также для ионного обмена по изотерме Б. П. Никольского и динамическо-

го осаждения по изотерме, предложенной В. В. Рачинским и А. А. Лурье [1, 5]. Влияние внешней и внутренней диффузий на кинетику массообмена рассматривалось отдельно, и, следовательно, полученные решения можно было использовать лишь при достаточно надежном установлении лими-

тирующей стадии переноса вещества из раствора к местам сорбции. Более общий случай характеризуется соизмеримым влиянием всех кинетических факторов или преобладанием одного из механизмов кинетики при определенных концентрациях с последующим уменьшением его роли в результате изменения концентрации сорбируемого вещества в области фронта сорбции и затем полным превалированием другого кинетического механизма, первоначально не являвшегося лимитирующим.

В данном сообщении рассматривается совместное влияние двух наиболее важных кинетических факторов — внешней (пленочной) и внутренней (гелевой) диффузии при одновременном вкладе продольных эффектов (осевая квазидиффузия) в общее размытие фронта для динамической задачи, начальные и граничные условия которой соответствуют фронтальной хроматографии [4]. Ограничимся, как и во всех прежних работах, описанием процесса на стадии параллельного переноса стационарного фронта, что позволяет перейти к координатам, связанным с фронтом  $z = x - vt$ ,  $v = uh(1+h)^{-1}$ , и записать следующую систему уравнений динамики с коэффициентом продольного массопереноса  $D^*$ , внешнедиффузионной ( $\beta_1$ ) и внутридиффузионной ( $\beta_2$ ) кинетики

$$\begin{aligned}\varphi - \vartheta &= \frac{D^*h}{v} \cdot \frac{d\varphi}{dz}; \quad \frac{d\vartheta}{dz} = \frac{\beta_1 h}{v} [F_p(\vartheta) - \varphi]; \\ \frac{d\vartheta}{d\varphi} &= \frac{\beta_2}{v} [\vartheta - f(\varphi)],\end{aligned}\quad (1)$$

где  $\vartheta[0 \div 1]$  — безразмерные линейные концентрации сорбируемого вещества в подвижной и неподвижной фазах;  $F_p(\vartheta)$ ,  $f(\varphi)$  — уравнения статики (изотермы) сорбции. Исключив  $dz$  из системы (1), получим два уравнения с неразделяющимися переменными

$$G_1 \frac{d\varphi}{d\vartheta} = \frac{\varphi - \vartheta}{F_p(\vartheta) - \varphi}; \quad G_2 \frac{d\varphi}{d\vartheta} = \frac{\varphi - \vartheta}{\vartheta - f(\varphi)}, \quad (2)$$

где  $G_1 = D^* \beta_1 h^2 v^{-2}$ ,  $G_2 = D^* \beta_2 h v^{-2}$  — безразмерные параметры размытия фронтов ( $0 \div \infty$ ).

Решение каждого из этих уравнений  $\varphi = F_i(q_0 G_i \vartheta)$ , где  $q_0 = df/d\varphi|_{\varphi=0}$ , представляет собой межфазное соотношение концентраций в зоне стационарного фронта, имея которое, можно из уравнения динамики вывести уравнение стационарного фронта для неподвижной фазы (колоночная кривая)

$$\begin{aligned}z_i(\vartheta) &= \frac{D^*h}{v} \int \frac{F'_i d\vartheta}{F_i - \vartheta} + \text{const}; \\ F'_i &= \frac{dF_i}{d\vartheta}, \quad i = 1, 2,\end{aligned}\quad (3)$$

где индексы 1 и 2 обозначают соответственно внешне- и внутридиффузионную задачи.

Уравнения (2) в аналитическом виде решаются при помощи аппроксимирующей функции  $\varphi = F_i(q_0 G_i \vartheta)$ , соответствующей в достаточной мере их точному решению во всем интервале изменения аргументов  $q_0$ ,  $G_i$ ,  $\vartheta$  и позволяющей при этом выполнить

аналитическое интегрирование в уравнении (3).

В работах [1, 2] на примере изотермы ленгмюровского типа  $\vartheta = f(\varphi) = q_0 \varphi / [1 + (q_0 - 1)\varphi]^{-1}$  нами показано, что весьма удовлетворительные результаты дает аппроксимация

$$\begin{aligned}\varPhi &= (1 + G_1)^{-1} \vartheta \{1 + G_1 [A(\vartheta) - \vartheta A'(\vartheta) + \vartheta]\}^{-1}, \\ A(\vartheta) &= A_0 k (k - \vartheta)^{-1}.\end{aligned}$$

Там же приводятся формулы для определения параметров  $A_0 = A(0)$  и  $k$  (параметр асимметрии), а также выводится уравнение стационарного фронта  $z_1(\vartheta)$ . В сообщении [3] дано приближенное аналитическое решение этой задачи для внутридиффузионной кинетики и предельно выпуклых (прямоугольных) изотерм путем введения функции заполнения  $w(\varphi)$ , вид которой не конкретизировался, а уравнение стационарного фронта было получено в форме  $z_2(w)$ . Лишь в некоторых частных случаях удалось преобразовать уравнение выходной кривой к виду  $z_2(\varphi)$ .

Распространим метод аппроксимирующих функций на динамическую задачу при совместном действии внешне- и внутридиффузионных факторов для изотерм, не только симметричных относительно оси  $\vartheta = 1 - \varphi$  (ленгмюровского типа), но и соответствующих более широкому классу кривых второго порядка

$$\begin{aligned}\varphi &= F_p(\vartheta) = \vartheta (a + b\vartheta) (1 + g\vartheta)^{-1}; \\ a + b &= 1 + g, \quad a < 1,\end{aligned}\quad (4)$$

которые при  $b = 0$  переходят в ленгмюровскую изотерму, выраженную в безразмерных концентрационных величинах  $\varphi$ ,  $\vartheta$   $[0 \div 1]$ .

Как и в работе [1], найдем функцию  $\varphi = F_i(\vartheta)$  для получения в результате вычислений аналитического вида именно колоночной кривой  $z_i(\vartheta)$  — распределение концентраций вещества в твердой фазе зоны стационарного фронта, которую можно построить по данным радиохроматографического эксперимента.

Аппроксимирующая функция (т. е. межфазное соотношение концентраций в зоне фронта), являющаяся по нашим представлениям, модифицированной изотермой [1, 2], здесь берется в виде, аналогичном (4).

$$\begin{aligned}F_i(\vartheta) &= \vartheta (A_i + C_i \vartheta) (1 + C_i \vartheta)^{-1}; \\ A_i + B_i &= 1 + C_i,\end{aligned}\quad (5)$$

где индекс  $i$  тот же, что и в (3), но с параметрами, зависящими от статических коэффициентов  $a$ ,  $b$ ,  $g$  и от динамического параметра размытия  $G_1$  или  $G_2$ . Они определяются при подстановке выражений (4) и (5) в уравнения (2). После выполнения необходимых преобразований при  $\vartheta = 0$  определяем

$$A_1 = \frac{(\alpha_0 G_1 - 1) + \sqrt{(\alpha_0 G_1 - 1)^2 + 4G_1}}{2G_1};$$

$$A_2 = \frac{\sqrt{\alpha_0 (G_2 - 1)} + \sqrt{\alpha_0 (G_2 - 1)^2 + 4G_2}}{2G_2 \alpha_0^{-1/2}}, \quad (6)$$

$$\text{где } \alpha_0 = dF_p/d\vartheta|_{\vartheta=0} = a, \quad F_p(\vartheta) =$$

уравнение статики сорбции. Параметры  $C_i$

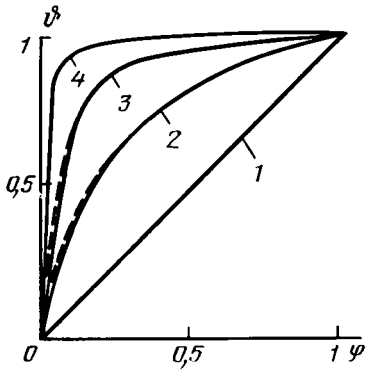


Рис. 1. Соотношения концентраций сорбированного вещества при внутридиффузионной кинетике (пояснение в тексте).

1 —  $G_2=0$ ; 2 —  $G_2=1$ ; 3 —  $G_2=5$ ; 4 — изотерма при  $q_0=100$  или при  $b=0$ ,  $a=0,01$  в формуле (4); пунктир — точное решение из [3].

находим при  $\vartheta=1$ , т. е. при другом конце области существования аргумента  $\vartheta$

$$C_i = [y \pm$$

$$\pm \sqrt{y^2 + 4(p_i - 1)(2 - A_i - p_i)}] 0,5(p_i - 1)^{-1}, \quad (7)$$

где  $y = 3 - A_i - 2p_i$ ,  $p_1 = A_1$ ,  $p_2 = A_2$  (6) при подстановке в эти формулы  $\alpha_1$  вместо  $\alpha_0$  для соответственно внутренней и внешней диффузии, причем

$$\alpha_1 = dF_p/d\vartheta \Big|_{\vartheta=1} = \\ = (1+g)^{-2}(2-a-ag+3g+g^2).$$

Для улучшения аппроксимации находим  $C_i'$ , соответствующий условию  $dF_i/d\vartheta=1$ , которое реализуется при  $\vartheta' = (\sqrt{1+C_i} - 1)/C_i'$ . После подстановки в (2) выражений (4), (5),  $\vartheta'$  получаем

$$C_i' = 0,5G_i^{-2}(1-a)^{-2}\{M_i \pm \\ \pm [M_i^2 - 4G_i^2(1-a)^2N_i]^{1/2}\}, \quad (8)$$

$$\text{где } M_i = (A_i - 1)^2(1 + G_i)^2 - 2G_i g(1-a)(1+G_i)(A_i - 1) - G_i^2(1-a)^2; N_i = 2g(A_i - 1) \times \\ \times (1+G_i)[G_i(1-a) + (A_i - 1)(1+G_i)(1+0,5g)]$$

В качестве окончательного значения берем  $\bar{C}_i = 0,5(C_i + C_i')$  и тогда из (5) находим  $B_i = 1 + \bar{C}_i - A_i$ . Сравнение правой и левой частей уравнений (2) при подстановке аппроксимирующих функций (5) для конкретных значений констант  $a$ ,  $b$ ,  $g$ ,  $G_i$  показывает хорошее соответствие в самом широком интервале изменения значений  $G_i$  и параметров крутизны изотермы (4). Небольшой вариацией параметров  $\bar{C}_i$  и  $A_i$  можно добиться наилучшего соответствия аналитического приближения (5) точному

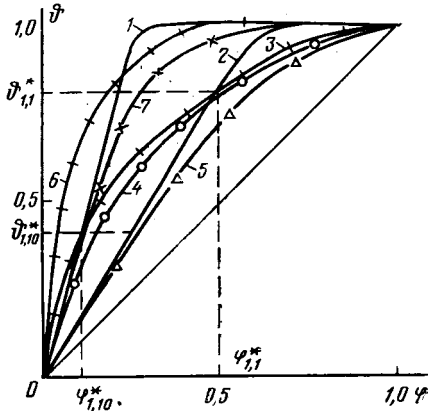


Рис. 2. Соотношения концентраций  $\vartheta(\varphi, G_i)$  в зоне стационарного фронта при ленгмюровской изотерме;  $q_0=100$  или  $b=0$ ,  $a=0,01$  в формуле (4).

1 и 2 — внешнедиффузионная кинетика, соответственно  $G_1=10$  и  $G_1=1$ ; 3 и 6 — внутридиффузионная кинетика, соответственно  $G_2=1$  и  $G_2=5$ ; 4, 5 и 7 — совместный учет факторов  $\beta_1$  и  $\beta_2$ , соответственно  $G_1=1$  и  $G_2=1$ ,  $G_1=10$  и  $G_2=5$ .  $\vartheta_{1,10}^*$  и  $\vartheta_{2,10}^*$  см. в тексте — формула (9).

решению в практически важной области надежно определяемых концентраций  $\vartheta[0,1 \div 0,9]$ , например, радиохроматографическими методами по колоночной кривой  $z(\vartheta)$ , правда, за счет некоторой потери точности на концах интервала изменения концентраций  $\vartheta$ , ф. т. е. в областях, близких к нулевому значению и насыщению  $\vartheta$ ,  $\varphi \approx 1$ . Но и экспериментальные ошибки, как известно, вблизи таких значений  $\vartheta$  и  $\varphi$  также существенно возрастают.

Сравнение результатов расчета соотношений концентраций по аппроксимирующему формуле (5) с учетом (6), (7), (8) для ленгмюровской изотермы ( $q_0=100$ ) с точным решением, полученным в [3] для прямоугольной изотермы ( $q_0 \rightarrow \infty$ ), показывает небольшое расхождение ( $\sim 5 \div 10\%$ ) лишь при малых значениях  $\varphi$ , когда ленгмюровскую изотерму даже с параметром крутизны  $q_0=100$  еще нельзя считать предельно выпуклой, т. е. когда не выполняется условие  $f(\varphi) \approx 1$ . При прочих значениях  $\varphi$  и  $\vartheta$  кривые практически полностью совпадают (рис. 1).

Таким образом, получены межфазные соотношения концентраций в зоне стационарного фронта, представляющие собой аналитические выражения, удовлетворяющие уравнениям (2) с достаточной для практического использования точностью. Из выражений (5), (6), (7), (8) можно получить значение  $\vartheta_{G_1, G_2}^*$ , условно соответствующее концентрационной границе преимущественного влияния внешне- или внутридиффузионного механизма на лимитирующую стадию кинетики.

$$\vartheta_{G_1, G_2}^* = 0,5W_1^{-1}(A_1 - A_2)^{-1} \times \\ \times \left[ W_2 \pm \sqrt{W_2^2 - 4W_1(A_1 - A_2)} \right], \quad (9)$$

где  $W_1 = B_1\bar{C}_2 - B_2\bar{C}_1$ ,  $W_2 = A_2\bar{C}_1 - A_1\bar{C}_2 +$

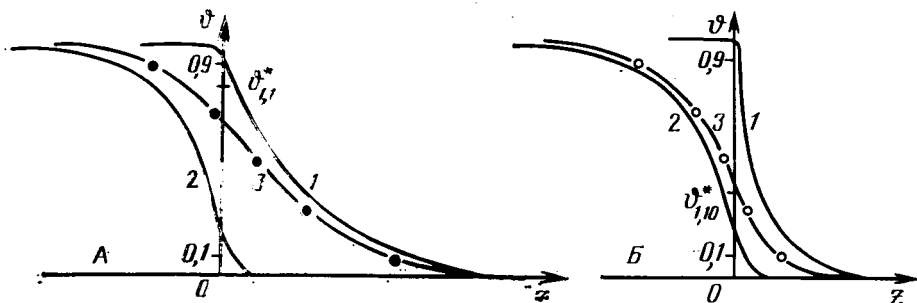


Рис. 3. Профили стационарного фронта в неподвижной фазе (колоночные кривые)  $z(\vartheta)$  (11) при  $q_0=100$  и  $b=0$ ,  $a=0,01$  (4) — ленгмюровская изотерма.

*A* —  $G_1=G_2=1$ ; *B* —  $G_1=10$ ,  $G_2=1$ ; 1 — внешнедиффузионная кинетика; 2 — внутридиффузионная кинетика; 3 — совместный учет кинетических факторов (смешаннодиффузионная область).

$$+ B_2 - B_1.$$

На рис. 2 эти закономерности иллюстрируются при некоторых значениях  $G_i$ , причем интервал концентраций  $\vartheta[0 \div \vartheta^*]$  соответствует лимитированию кинетики в основном внешнедиффузионным массообменом, а при  $\vartheta[\vartheta^* \div 1]$  скорость массопереноса вещества к местам сорбции определяется главным образом внутридиффузионным фактором. В окрестности точки  $\vartheta^*$  стадия, определяющая скорость, не может быть выявлено определенно. Для гладживания кривой, описывающей соотношение концентраций в зоне фронта при совместном влиянии внешней и внутренней диффузий, можно использовать следующее выражение, аналогичное (5),

$$\Phi = F^*(\vartheta) = \vartheta (A^* + B^*\vartheta) (1 + C^*\vartheta)^{-1}, \quad (10)$$

где  $A^* = \alpha_{i,0}^* = dF_i/d\vartheta \Big|_{\vartheta=0}$ , причем берется та производная, значение которой при соответствующих величинах  $G_i$  больше. Параметр  $C^*$  определяется из выражения (7), куда подставляется значение  $A^*$  вместо  $A_i$  и  $\alpha_{i,1}^* = dF_i/d\vartheta \Big|_{\vartheta=1}$  вместо

$\rho_i$ , причем берется меньшая производная при тех же величинах  $G_i$  и зависящих от них констант  $A_i$ ,  $B_i$  и  $C_i$ .

Соотношение (10) представляет собой приближенное аналитическое решение некоторого уравнения кинетики, справедливого для смешанно-диффузионной области, но вид которого мы здесь установить не можем. Ясно только одно, что использование по Я. М. Биксону внешнедиффузионного уравнения из системы (1) с параметром  $\beta^* = \beta_1\beta_2(\beta_1 + \beta_2)^{-1}$ , как это делается во многих работах, в общем случае смешанно-диффузионных задач некорректно. Степень отклонения кривой (10) от кривых, описывающих соотношение концентраций при действии только одного из рассмотренных кинетических факторов, зависит от соотношения кинетических констант  $\beta_1$  и  $\beta_2$  (1) и при  $D^*=const$ , определяется соотношением безразмерных динамических параметров размытия  $G_1$  и  $G_2$  (2), т. е. зависит и от входной концентрации  $n_0$ , которая при данной крутизне изотермы сорбции обуславливает распределительное отношение  $h$  (рис. 2).

Имея выражение (10), можно из общей формулы (3) вывести уравнение стационар-

ного фронта, описывающее колоночную кривую  $z^*(\vartheta)$  при совместном влиянии обоих кинетических ( $\beta_1$ ,  $\beta_2$ ) и продольных ( $D^*$ ) эффектов

$$z^*(\vartheta) = \frac{D^*h}{v(A^* - 1)} \times \\ \times [A^* \ln \vartheta - (2 + C^* - A^*) \ln(1 - \vartheta) - \\ (A^* - 1) \ln(1 + c^*\vartheta)] + \text{Const.} \quad (11)$$

Константу интегрирования в (11) можно вычислить по формуле [4]

$$\text{Const} = -(1 + h)^{-1} \left\{ \int_0^1 z^*(\vartheta) d\vartheta + \right. \\ \left. + h \int_0^1 z^*(\varphi) d\varphi \right\}, \quad (12)$$

где  $z^*(\varphi)$  находится элементарным интегрированием уравнения (3) при  $\vartheta$ ; выражаемом из (10) через переменную  $\varphi$

$$\vartheta = (2B^*)^{-1} [C^*\varphi - A^* + \\ + \sqrt{(C^*\varphi - A^*)^2 + 4B^*\varphi}] \quad (13)$$

с использованием подстановки Эйлера

$$r = [(C^*\varphi)^2 - 2(A^*C^* - 2B^*)\varphi + A^{*2}]^{1/2} + \\ + \sqrt{m}\varphi, m = C^{*2}.$$

Тогда уравнение выходной кривой  $z^*(\varphi)$ , соответствующее профилю стационарного фронта в жидкой фазе, имеет вид

$$z^*(\varphi) = \frac{2B^*D^*h}{v} \left[ R_1 \ln(r - A^*) + \right. \\ \left. + \frac{R_3}{2Q_1} \ln(Q_1r^2 + Q_2r + Q_3) + \right. \\ \left. + \frac{R_2 - Q_2}{\sqrt{\Delta}} \ln(2Q_1r - Q_2 - \sqrt{\Delta}) \times \right. \\ \left. \times (2Q_1r + Q_2 + \sqrt{\Delta})^{-1} \right] + \text{Const}, \quad (14)$$

$$\text{где } \Delta = Q_2^2 - 4Q_1Q_3.$$

$$Q_1 = \sqrt{m}(d_1 - \sqrt{m}),$$

$$Q_2 = d_1(d_2 + A^*\sqrt{m}) + \\ + \sqrt{m}(A^*\sqrt{m} - d_2),$$

$$\begin{aligned}
Q_3 &= d_2 (A^*d_1 + A^* \sqrt{m} - d_2), \\
d_1 &= 2B^* - C^*, \\
d_2 &= 2B^* - A^*C^*, \\
R_1 &= 2A^* (d_2 + A^* \sqrt{m}) Q^{*-1}, \\
R_2 &= [Q_3 (2d_2 + A^* \sqrt{m}) - \\
&- A^{*2} \sqrt{m} (A^*Q_1 + Q_2)] Q^{*-1}, \\
R_3 &= [\sqrt{m} (A^*Q_2 + Q_3) - \\
&- A^*Q_1 (2d_2 + A^* \sqrt{m})] Q^{*-1}, \\
Q^* &= A^{*2}Q_1 + A^*Q_2 + Q_3.
\end{aligned}$$

На рис. 3 представлены профили фронтов  $z(\theta)$ , соответствующие колоночным кривым. Кривая 3  $z^*(\theta)$ , описывающая распределение концентраций с совместным учетом внутри- и внешнедиффузионных кинетических факторов  $\beta_2$  и  $\beta_1$  при  $D^* = \text{const}$ , имеет признаки, характерные как для внутренней диффузии — завал фронта в области  $\theta$ , близкой к насыщению, так и для внешней — затянутый «хвост» при малых значениях  $\theta$ . Это особенно наглядно при

сравнении с кривыми 2 и 1. При  $G_2 = 1$  и  $G_1 = 10$  (рис. 3, Б) лимитирующая стадия практически всецело определяется внутренней диффузией, что хорошо видно на рис. 2, поэтому у кривой 3 и «хвост» при низких концентрациях  $\theta$  проявляется слабо и кривые 3 и 2 практически совпадают.

Из уравнения (11) можно определить ширину фронта  $\delta_r = z^*(\theta_i) - z^*(1-\theta_i)$ , где  $\theta_i$  — концентрация, надежно определяемая в эксперименте (обычно 0,05 или 0,1), и тогда, имея экспериментальное значение зоны размытия  $\delta_{\text{эксп}}$ , по методике, изложенной в [1], можно найти величину  $D^*$  и величину  $\beta^*$ , которая представляет собой эффективный кинетический параметр смешанно-диффузионной области. В ряде случаев (рис. 2) влияние каждого из механизмов кинетики оценивают отдельно.

Таким образом, получено приближенное решение неравновесной задачи динамики сорбции в аналитическом виде при одновременном рассмотрении внешне- и внутридиффузионных кинетических факторов и продольных квазидиффузионных эффектов.

## ЛИТЕРАТУРА

1. Каменев А. С. Использование аппроксимирующих функций для решения задач неравновесной динамики ионного обмена и осаждения. — Изв. ТСХА, 1981, вып. 2, с. 169—174.
2. Каменев А. С. Феноменологическое решение некоторых задач неравновесной динамики ионного обмена и осаждения с использованием аппроксимирующих функций. — Автореф. канд. дис. М., 1981.
3. Каменев А. С. Решение задачи неравновесной динамики

сорбции с учетом продольных эффектов при помощи аппроксимирующих функций. Сооб. З-е. — Журн. физ. химии, 1982, т. 56, № 11, с. 2879—2880.

4. Рачинский В. В. Введение в общую теорию динамики сорбции и хроматографии. М.: Наука, 1964.
5. Рачинский В. В., Лурье А. А. Изотерма осаждения. — Докл. АН СССР, 1963, т. 152, № 6, с. 1365—1368.

Статья поступила 18 ноября 1983 г.

## SUMMARY

Approximated analytical solution of unequilibrium sorption dynamics has been received taking into account axial effects in diffusion-mixed kinetic field. With example of Langmure type isotherm fields of concentrations are shown the limiting stage of which can be gel- or film- diffusion.